

## I — 4 薄肉円筒体の曲げ衝撃特性について

室蘭工業大学	正員	岸 徳光
"	"	松岡 健一
北大 工学部	"	能町 雄雄
電力中央研究所	"	高野 博

## 1. まえがき

土木・建築構造物の衝撃的荷重に対する耐衝撃性の問題は未解明の部分が多く、合理的な設計手法の確立が急がれている。特に電力、とりわけ原子力発電施設構造物の場合その重要性から、世界各国で実規模の耐衝撃実験を行っている。米国における Tornado ミサイル攻撃壁の耐衝撃実験はそのよい例である。我が国でも使用済燃料輸送容器の耐衝撃性に関する系統的な実証試験研究がなされているようである。電力中央研究所ではこのような種々の耐衝撃性の問題に対応すべく中速度(載荷初速度 15 m/sec ~ 20 m/sec)衝撃荷重を想定した大型耐衝撃実験装置を設置して、電力関連 RC, PC 構造物の耐衝撃性に関する本格的な研究を推進中である。著者等はこれまで、このような破壊を含む構造物の耐衝撃性に関する問題の足がかりとして構造物の基礎部材である直線形梁、複合合成梁、円弧梁あるいはリブ付矩形板等の鋼製あるいはアクリル模型による弹性衝撃実験を行い、衝撃加速度率に関する簡便法や、解析理論の適用性の有無について検討を行ってきた。

ここでは、直線系や筋線の容器の円筒部分の耐衝撃性に関する基礎資料を得ることを目的としてアクリル円筒模型に落錘による衝撃荷重を用いて、円周方向、軸方向への波動伝播の問題や、構造体の動的応答性状について調べ、さらに有限帶域理論を用いた解析を行って実験結果との比較検討を行っている。

## 2. 実験装置および計測方法

実験は写真-1 に示すような載荷装置を用いて行った。支点部は写真に示されているように剛なタイヤフレムを用い、プランマーブロックに固定しているので支点部はピン支持状態となっている。衝撃荷重は  $W = 1.9 \text{ kg}$  の落錘を用い、アクリル製の入力波形用丸棒を介して円筒部中央部に限定して載荷している。応答歪は歪ゲージ(ゲージ長 1 mm, ゲージ抵抗 120 Ω)を用いて一枚ゲージ法により測定している。写真-2 には測定用の計測システムを示している。

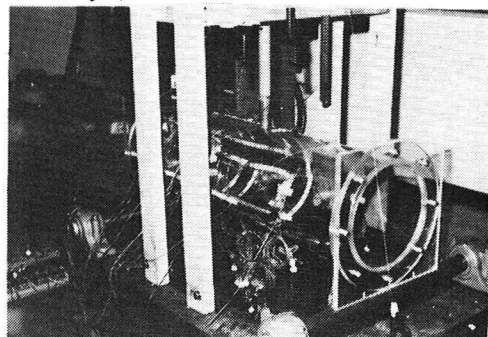


写真-1. 実験装置

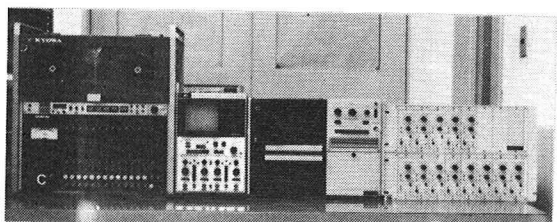
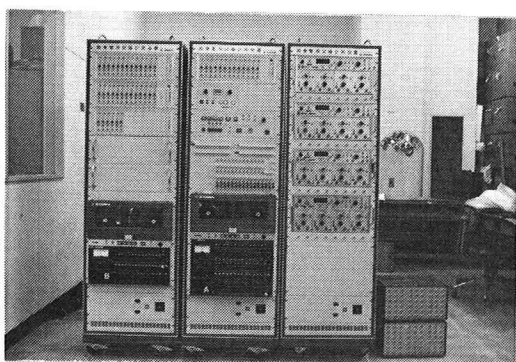


写真-2. 耐衝撃用計測装置

図-1は写真-2のシステムを用いた衝撃成分の計測フロー図である。図より主に記録部と、再生部、波形処理部に分かれており、記録部はメソンコントローラーを用いることにより最大42cmまで同時計測が可能である。高周波成分を含むため直流増幅器、データレコーダーは周波数範囲が0~20kHzの高帯域用のものを使用している。再生部はウェーブメモリー(16cm)を用いて衝撃初期あるいは長期的な振動性状を最小1μsecのサンプリングで再生可能にしてある。

実験はスパン1m、半径30cm、肉厚10mmのアクリル製円筒を用いる沿面の対称性を確認の上円筒体の四半分に限定して行っている。(図-2)に実験に用いた円筒体の断面形状とアクリル材の材料定数を示している。なお、落錘の落下高は残料の塑性化を防ぐため25cmに限定して実験を行っている。

### 3. 実験結果

図-3にスパン中央部断面各点の軸方向歪の時刻歴を示している。ゲージ番号①は入力波形即用丸棒の入力波形を、②は載荷点直下の円筒体内表面の応答歪波形を示し、③~⑨は外表面各点の応答歪波形を示している。(図より、本実験における衝撃荷重の載荷時間は6 msec前後であることがわかる。円筒体の応答歪波形は衝撃初期にかなり局所的状態となっており、荷重除荷後は又自由振動状態に進行しているようである。最大応答歪は無限梁同様衝撃初期に生じており、載荷点直下で約2000μ strainとなっている。また特に③と⑨を調べると、衝撃初期同様、自由振動状態に進行後も波形の位相が等しくなっており、梁としての作用よりも断面変形作用が卓越していることが明らかとなる。さらに詳細に検討すると、軸方向、周方向ともにほぼせん断波速度(約3000m/sec)荷後で振動が伝播していくことが明らかとなった。

### 4. 理論解析

円筒体、衝撃応答解析手法には、車輪シェル構造の解析にも応用可能なコニカルシェル要素を要素とする有限帶板法を用いる方法や、微分方程式を直接解く方法などが考えられるが、ここでは、円筒体を多角形に分解して矩形要素を要素とする有限帶板法を用いて解析を試みるものとする。

図-4に示すような任意の薄板要素において、局部座標系を $x-y-z$ 、対応する変位を $u, v, w$ 、回転角を $\theta$ 、時間を $t$ とする。要素内の $y$ 方向の変位分布は、面内変形に関しては線形変化を、面外変形に関しては3次放物線変化を仮定する。

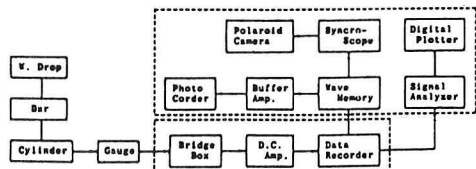
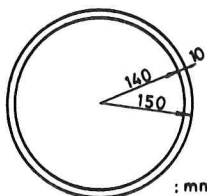


Fig. 1 Measurement Block Diagram.



Span Length	$l = 100$ cm
Elastic Rod	$l = 50$ cm
	$\phi = 30$ mm
Drop Weight	$W = 1.9$ Kg
	$d = 25$ cm
Acryl resin	$E = 30000 \text{ Kg/cm}^2$
	$= 0.38$
	$= 1.18 \text{ g/cm}^3$

Fig. 2 Specification of the cylinder and elastic rod.

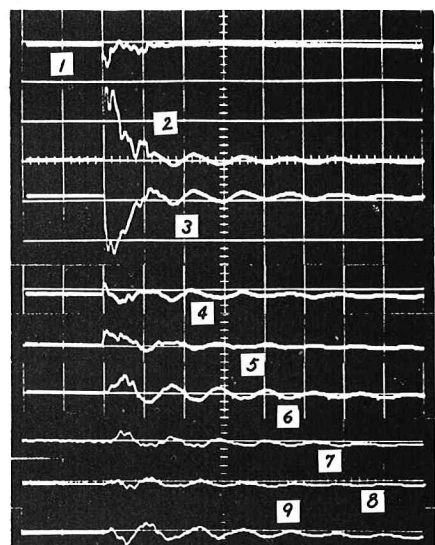
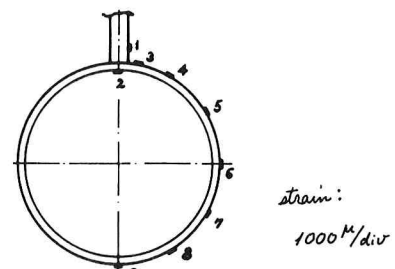


Fig. 3 Span central部の各点の軸方向歪の時刻歴

面内変形に関して：

$u, v$  は  $i, j$  点の変位を  $U_k, V_k$  ( $k = i \text{ or } j$ ) とおく、さらに試験関数を  $u^{(k)}, v^{(k)}$  とおくと

$$u = u^{(i)} u_i + u^{(j)} u_j \quad \dots (1)$$

$$v = v^{(i)} v_i + v^{(j)} v_j \quad \dots (2)$$

ただし、 $\eta = y/b_i$  とすると  $u^{(k)}, v^{(k)}$  は

$$u^{(i)} = u^{(j)} = 1 - \eta \quad \dots (3)$$

$$u^{(j)} = v^{(i)} = \eta \quad \dots (4)$$

である。  $x, y$  方向の直応力を  $\sigma_x, \sigma_y$  とし、せん断力を  $\tau_{xy}$  とする。

二次元弾性論に基づく  $x, y$  方向の力の釣合式に慣性項を考慮、さらに式(3), (4)を用いてガラーキン法を適用すると、

$$\int_0^{b_i} \left( \frac{\partial \sigma_x}{\partial x} + \frac{\partial \tau_{xy}}{\partial y} - \rho \frac{\partial^2 u}{\partial t^2} \right) u^{(k)} dy = 0 \quad \dots (5)$$

$$\int_0^{b_i} \left( \frac{\partial \sigma_y}{\partial y} + \frac{\partial \tau_{xy}}{\partial x} - \rho \frac{\partial^2 v}{\partial t^2} \right) v^{(k)} dy = 0 \quad \dots (6)$$

ただし、 $k = i \text{ or } j$  である。式(5), (6)に Hooke の法則に基づく応力と変位の関係式を代入して部分積分を施し、境界条件に留意して整理すると帶板要素の面内変形に関する境界応力は全て境界変位の関数で  $x, t$  に関する 2 階の線形連立偏微分方程式の形として示される。

面外変形に関して：

$i, j$  点の  $w, \theta$  を面内変形の場合と同様に  $W_k, \Theta_k$  ( $k = i \text{ or } j$ ) とおくと、 $w$  は次のように示される。

$$w = w^{(i)} w_i + w^{(j)} w_j + \theta^{(i)} \theta_i + \theta^{(j)} \theta_j \quad \dots (7)$$

ただし、試験関数は次のように示される。

$$w^{(i)} = 1 - 3\eta^2 + 2\eta^3, \quad \theta^{(i)} = b_i(\eta - 2\eta^2 + 3\eta^3) \quad \dots (8)$$

$$w^{(j)} = 3\eta^2 + 2\eta^3, \quad \theta^{(j)} = b_i(-\eta^2 + \eta^3) \quad \dots (8)$$

面外変形に関する動的基礎偏微分方程式に式(8)を用いてガラーキン法を適用すると、

$$\int_0^{b_i} \left\{ \frac{\partial^2 M_x}{\partial x^2} + 2 \frac{\partial^2 M_{xy}}{\partial x \partial y} + \frac{\partial^2 M_y}{\partial y^2} - \rho h \frac{\partial^2 w}{\partial x^2} \right\} w^{(k)} dy = 0 \quad \dots (9)$$

$$\int_0^{b_i} \left\{ \frac{\partial^2 M_x}{\partial x^2} + 2 \frac{\partial^2 M_{yx}}{\partial y \partial x} + \frac{\partial^2 M_y}{\partial x^2} - \rho h \frac{\partial^2 \theta}{\partial x^2} \right\} \theta^{(k)} dy = 0 \quad \dots (10)$$

上式(9)(10)にキルヒhoff ラブの仮定に基づく断面力と曲率の関係式を考慮に入れて部分積分を施し整理すると、 $x$  に関する 4 階、 $t$  に関する 2 階の線形連立偏微分方程式が得られる。

面内、面外変形の線形連立偏微分方程式において、式(5)から求まる方程式に関しては cosine、式(6)(9)、(10)から求まる方程式に関しては sine の有限 Fourier 変換を施す。境界条件に留意して整理すると次のような剛性マトリックスが得られる。

$$[K] \{ \bar{S}_m[\delta] \} + [M] \frac{\partial}{\partial t} \{ \bar{S}_m[\delta] \} = \{ \bar{S}_m[f] \} \quad \dots (11)$$

ここで  $[K], [M]$  はそれを剛性マトリックス、質量マトリックスであり、 $\{ \bar{S}_m[\delta] \}, \{ \bar{S}_m[f] \}$  はそれぞれ  $\{ \bar{S}_m[\delta] \} = [C_m[U_i] \ S_m[V_i] \ S_m[W_i] \ S_m[\theta_i] \ C_m[U_j] \ S_m[V_j] \ S_m[W_j] \ S_m[\theta_j]]^T$

$$\{ \bar{S}_m[f] \} = [C_m[T_i] \ S_m[S_i] \ S_m[Q_i] \ S_m[M_i] \ C_m[T_j] \ S_m[S_j] \ S_m[Q_j] \ S_m[M_j]]^T$$

ただし  $T = \rho T_{xy}$ ,  $S = \rho S_y$  である。

以上より薄板要素の動的関係式が示されたが、構造全体の動的剛性マトリックスはこれを全構造系へ変換しなければならない。座標変換マトリックスを  $[T]$  とすると、構造全体の動的関係式は、

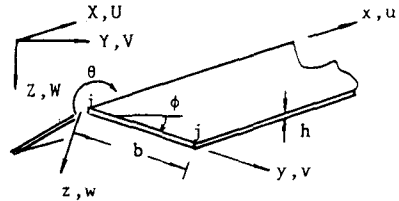


Fig. 4 One finite strip element

$$[K_{st}]\{\bar{S}_m[\Delta_{st}]\} + [M_{st}] \frac{\partial^2}{\partial t^2} \{\bar{S}_m[\Delta_{st}]\} = \{\bar{S}_m[F_{st}]\} \quad \dots (12)$$

ただし、 $\{\bar{S}_m[\Delta]\} = [T]\{\bar{S}_m[\delta]\}$ ,  $\{\bar{S}_m[F]\} = [T]\{\bar{S}_m[f]\}$

$$[K] = [T][K][T]^T, \quad [M] = [T][M][T]^T$$

式(12)において、荷重項を零として固有値、固有ベクトルを求め、モードマトリックスを $[\phi]$ とし、規準関数ベクトル $\{S_m[\psi]\}$ を導入すると $\{S_m[\Delta_{st}]\}$ は

$$\{\bar{S}_m[\Delta_{st}]\} = [\phi]\{S_m[\psi]\} \quad \dots (13)$$

上式(13)を式(12)に代入して直交関係を考慮し、さらに比例減衰を考慮に入れて、ナット目 $\alpha$ の固有値 $\omega_r$ に対する

$$S_m[\ddot{\psi}_r] + 2\omega_r h_r S_m[\dot{\psi}_r] + \omega_r^2 S_m[\psi_r] = P_r/M_r \quad \dots (14)$$

ただし、 $h_r = \frac{1}{2}(\frac{d}{\omega_r} + \beta\omega_r)$ ,  $M_r = \{\phi_r\}^T [M_{st}] \{\phi_r\}$ ,  $P_r = \{\phi_r\}^T \{S_m[F_{st}]\}$

であり、「 $\cdot$ 」は $\frac{\partial}{\partial t}$ を意味するものとする。

$S_m[\psi_r]$ は式(14)を Duhamel 積分することにより求まり、これを式(13)に代入すると $\{\bar{S}_m[\Delta_{st}]\}$ が求まる。従って $\{\Delta_{st}\}$ はこれをX方向に逆変換すればよい。変位が求まれば、断面力を容易に求めることができる。

## 5. 実験結果と理論解析結果の比較

解析は円筒を38等分割にし、入力波形を三角形分布に近似して Fourier級数の項数を $m=5$ 項まで考慮して考慮していく。図-5に各時間におけるスパン中央部外表面周方向歪の分布図を示しているが、3でも述べているように断面変形作用が卓越している状態が明確に示されている。理論解析結果は $t=4.0\text{ msec}$ 前後より実験との間にモード的な差が生じていいが、衝撃初期には実験結果をよく近似しているものと考えられる。

## 6. 参考文献

- 1) 4th Smirt session J7., Missile impact and transit loads., 1977.
- 2) H.Takano, et al., On dynamic behavior of beams with rectangular cross section under impact load., J.N.C.T.M. Vol. 28 (1980).
- 3) H. Takano, et al., On the bending impulse of simple supported composite beams. J.N.C.T.M. Vol. 29 (1981).
- 4) H.Takano, et al., The dynamic response of arches under impact load., J.N.C.T.M. Vol. 30 (1981)
- 5) H.Takano, N.kishi, et al., The dynamic response of plate with two ribs under impact load., Memoirs of the Muroran Institute of technology Vol. 10, No. 4, Nov., (1982)

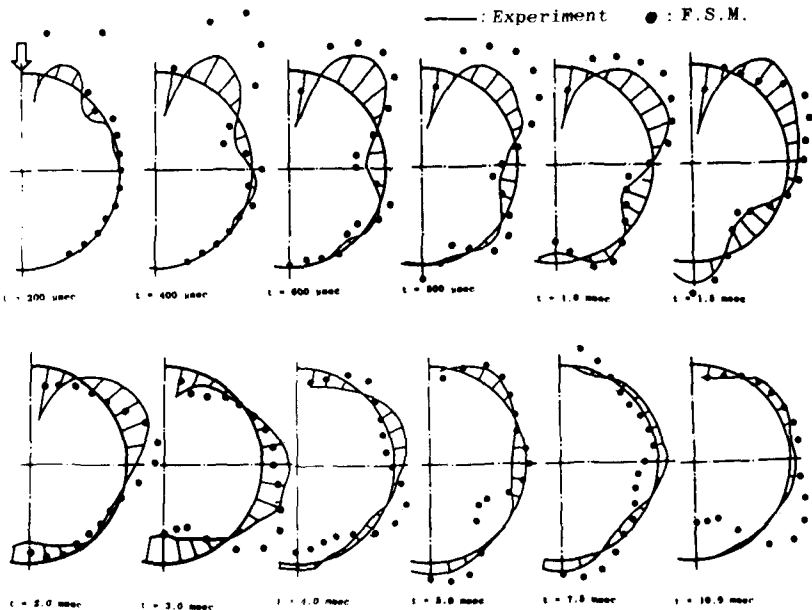


図-5. 衝撃荷重載荷後の各時間におけるスパン中央部外表面周方向歪の分布図。